

# حل دقیق ارتعاشات عرضی تیر با سطح مقطع متغیر تحت بار محوری

عبدالرضا اوحدی همدانی  
دانشجوی دکتری

ابراهیم اسماعیل زاده  
استاد

دانشکده مهندسی مکانیک، دانشگاه صنعتی شریف

## چکیده

در این پژوهش معادلات حاکم بر ارتعاشات عرضی غیر یکنواخت تحت بار محوری همراه با میرایی خارجی و سازه‌ای ارائه گردیده و سپس برای چند حالت خاص معادلات بازنویسی شده است. برای ارتعاشات آزاد تیر، با صرف نظر نمودن از کلیه میرایی‌ها، یک معادله دیفرانسیل مرتبه چهارم کامل با ضوابط متغیر بر حسب زاویه دوران ناشی از خمش حاصل گردیده است. شوابط مرزی تیر به صورت جرم متتمرکز در يك انتهای و تکیه گاه الاستیک در انتهای دیگر می‌باشد. معادله فرکانسی بر حسب چهار حل اساسی مستقل خطی به دست آورده شده و سپس با بسط ضوابط معادله دیفرانسیل به صورت چند جمله‌ای و استفاده از روش فربنیوس حل دقیق از معادله ارتعاشاتی ارائه گردیده است. به عنوان نمونه، برای یک تیر غیریکنواخت یکسردار، اثر جرم متتمرکز و بار محوری گشته و فشاری بر فرکانس‌های ارتعاشی تیر مورد بررسی قرار گرفته و همچنین وابستگی دقیق نتایج به درجه چند جمله‌ای ضوابط معادله دیفرانسیل آورده شده است.

## Exact Solution of Transversal Vibration of a Nonuniform Beam Under Axial Loading

E. Esmailezadeh  
Professor

A. R. Ohadi  
Ph.D. Candidate

Mech. Eng. Dept., Sharif Univ. of Tech.

## Abstract

Transversal vibration of a nonuniform Timoshenko beam under axial loading is studied. Governing equations considering external and structural damping is derived and simplified for some special cases. In one case, a fourth-order differential equation with variable coefficients in terms of angle of rotation due to the bending of the beam is obtained for free vibration of a beam without considering damping. Boundary conditions are taken as a concentrated mass at one end and elastic support at the other end. The frequency equation is obtained using four linearly independent fundamental solution and then the Frobenius method is used to get the exact solution. For a nonuniform clamped beam, effects of concentrated mass, tensile and compressive axial loading on beam vibrational frequencies is studied. It is shown that increasing the concentrated mass and axial loading decrease the frequencies. Also it is observed that the accuracy of the solution depends to the degree of the polynomials used in the coefficients of the governing differential equation.

## ۱- مقدمه

این امکان وجود دارد که بتوان با محاسبه فرکانس‌ها در چند سطح مختلف بار، مقدار نیروی کمانش را تخمین زد. با توجه به اهمیت تیرها در صنعت، از چندین دهه گذشته تاکنون افراد متعددی مقالات مختلفی در زمینه تحلیل‌های استاتیکی، ارتعاشات آزاد (Free Vibration) و ارتعاشات اجباری (Forced Vibration) تیرها با شرایط هندسی، مرزی، و بارگذاری متنوع ارائه داده‌اند. براین اساس تاکنون روش‌های مختلف تحلیلی و عددی برای حصول حل‌های دقیق و تقریبی معرفی گردیده است که در زیر، به اختصار، به چند مورد در زمینه تیرهای غیر یکنواخت و پله‌ای (Step Beam) اشاره می‌گردد. افراد زیادی بر پایه تئوری تیر اویلر-برنولی و با بکارگیری روش‌های مختلف به تحلیل تیرهای غیر یکنواخت پرداخته‌اند. "Lee & Kuo" [۱، ۲] مروی اجمالی بر کارهای انجام شده در این زمینه داشته‌اند. آنها تحلیل استاتیکی و دینامیکی تیر اویلر-برنولی غیر یکنواخت با نگهدارنده‌های الاستیک را انجام داده‌اند. حل دقیق مسئله که معادله حاکم بر آن از نوع معادله دیفرانسیل معمولی مرتبه چهار خود همراه (Self Adjoint) با ضرایب متغیر چند جمله‌ای می‌باشد، به فرم تابع  $\psi$  (Green's Function) به دست آمده و به اختصار بر حسب چهار حل اساسی نرمال شده (Normalized Fundamental Solution) سیستم بیان گردیده است. همچنین "Karabalis & Beskos" [۳] ماتریس سختی دقیقی را برای تحلیل تیرهای اویلر-برنولی غیر یکنواخت ارائه نمودند. برای تیرهای تیموشنکو معادلات مشخصه حاکم دو معادله دیفرانسیل کوپل هستند که بر حسب دو متغیر وابسته جابجایی خمی و زاویه دوران ناشی از خمی بیان می‌گردند. اگر تیر یکنواخت باشد، آنگاه دو معادله دیفرانسیل کوپل را می‌توان به دو معادله دیفرانسیل معمولی مرتبه چهار کامل تبدیل نمود [۴، ۵]. در سال ۱۹۹۲ "Lee & Lin" در مقاله‌ای [۶] حل دقیق ارتعاشات آزاد تیر تیموشنکو غیر یکنواخت با جرم متمرکز در یک انتهای و تکیه‌گاه الاستیک در انتهای دیگر را ارائه نمودند. در این مقاله دو معادله دیفرانسیل کوپل حاکم به یک معادله دیفرانسیل معمولی مرتبه چهار با ضرایب متغیر بر حسب زاویه دوران ناشی از خمی تبدیل گردیده است. آنها معادله فرکانسی را بر حسب چهار حل اساسی نرمال شده معادله دیفرانسیل مشخصه به دست آورده و نشان دادند

سازه‌هایی که امروزه طراحی می‌گردند، سبک وزن بوده و دارای مقاومت بالایی هستند. این بینش طراحی، مسائل ارتعاشاتی متعددی نظری خستگی (Fatigue) ماده، نویه (Noise) و حتی عدم آسایش انسان را ایجاد کرده است. جدای از این مسئله، هر سیستم مکانیکی پیچیده دارای تعدادی فرکانس رزنانس (Resonance) است و بنابراین امر بسیار مشکلی است که بتوان از همه این فرکانس‌های رزنانس اجتناب نمود. بر این اساس مطالعه رفتار سازه‌ها در فرکانس‌های رزنانس از نقطه نظر تنش‌های دینامیکی و یا دامنه ارتعاشات حائز اهمیت است. تیرها از جمله اجزاء مکانیکی هستند که از دیر زمان به صورت قابل توجهی مورد استفاده بشر قرار گرفته‌اند. براین اساس تئوری ارتعاشات تیرها اهمیت بسیار زیادی در کاربردهای مهندسی نظری طراحی ماشین‌ها و سازه‌ها دارد. اکثر مطالعات تیرها براساس تئوری کلاسیک می‌باشد که در آن اثر اینرسی دورانی (Shear Deformation) و تغییر فرم برشی (Rotatory Inertia) در نظر گرفته نشده است. براین اساس تئوری مذکور نمی‌تواند تشریح کافی و دقیقی از مشخصات و رفتار ارتعاشات مودهای بالا داشته باشد. امروزه به منظور بهینه سازی توزیع وزن و مقاومت و همچنین در پاره‌ای از موارد ارضاء و ظایف ویژه، تیرهای غیر یکنواخت (Nonuniform) به صورت گسترشده‌ای در بسیاری از کاربردهای سازه‌ای به کار گرفته می‌شوند. بنابراین تحلیل تیرهای غیر یکنواخت مورد توجه مهندسان مکانیک، هوافضا و ساختمان است. در استانداردهای مهندسی تحلیل تیرهای یکنواخت و یا با خواص متغیر براساس تئوری اویلر-برنولی (Euler-Bernoulli) انجام می‌پذیرد. ولی برای تحلیل‌های دقیق‌تر نظری بررسی حرکت ارتعاشاتی بازوی ربات‌ها، لازم است که با در نظر گرفتن تغییر فرم برشی و اینرسی دورانی تئوری مرتبه بالای تیر غیر یکنواخت تیموشنکو (Timoshenko Beam) استفاده گردد.

اثر نیروی صفحه‌ای یا محوری بر فرکانس‌های ارتعاشات آزاد سازه‌های الاستیک نظری تیرها، ورق‌ها و پوسته‌ها مورد توجه افراد مختلف بوده است. بار محوری کششی می‌خواهد فرکانس طبیعی را افزایش دهد، حال آنکه بار محوری فشاری در جهت کاهش آن عمل می‌کند. از آنجایی که کمانش (Buckling) زمانی اتفاق می‌افتد که پایین ترین فرکانس به صفر میل کند، لذا

رسم گردیده است. سپس مقدار ماکزیم (در محدوده فرکانسی نیرو) و فرکانس نیروی متناظر به عنوان تابعی از بار محوری مورد مطالعه قرار گرفته است. منابع [۱۹، ۲۰، ۲۱] نیز به بررسی فرکانسی تیرهای یکنواخت تحت بار محوری پرداخته اند.

در این پژوهش پس از مرور اجمالی بر مقالات ارائه شده سال های اخیر در زمینه ارتعاشات تیرهای غیریکنواخت و پله ای، معادلات حاکم بر ارتعاشات عرضی تیرتیموشنکو غیریکنواخت تحت بار محوری همراه با میرایی خارجی و سازه ای ارائه گردیده است. سپس برای ارتعاشات آزاد یک تیر بدون میرایی با جرم متمرکز در یک انتهای و تکیه گا، الاستیک در انتهای دیگر، معادله دیفرانسیل مرتبه چهارم کامل با ضرایب متغیر و بر حسب زاویه دوران ناشی از خمش آورده شده است. حل دقیق با استفاده از معادله فرکانسی (بر حسب چهار حل اساسی مستقل خطی)، بسط ضرایب معادله دیفرانسیل به صورت چند جمله ای و بکارگیری روش فربنیوس ارائه گردیده است. در انتهای یک مثال مورد توجه قرار گرفته و اثر بار محوری، جرم متمرکز و درجه چند جمله ای ضرایب بررسی شده است.

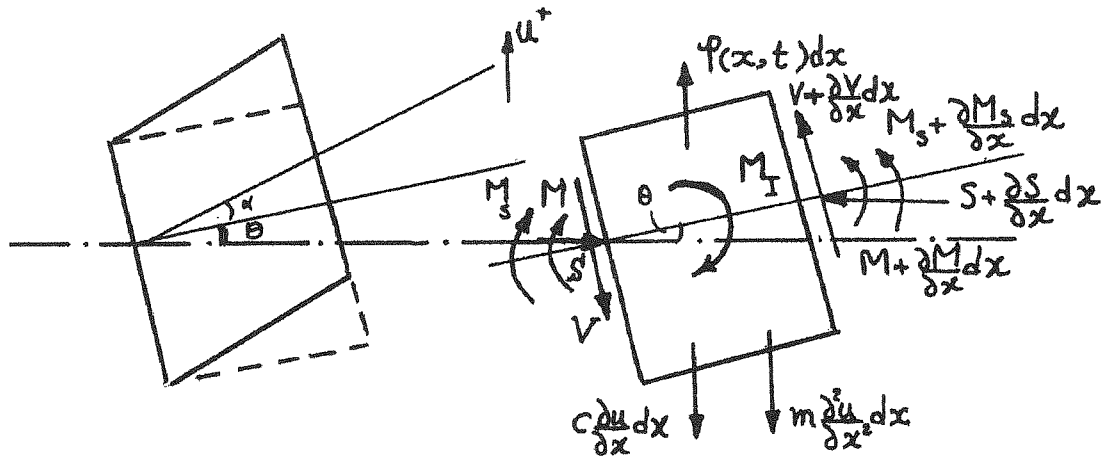
## ۲- معادلات حاکم بر ارتعاشات عرضی تیرتیموشنکو

معادلات حاکم بر ارتعاشات عرضی تیرتیموشنکو با استفاده از روش نیوتن به دست آورده شده است. در حصول این معادلات فرض گردیده که سطح مقطع تیر و مشخصات مکانیکی ماده متغیر بوده و بار محوری نیز بر تیر اثر می نماید. همچنین علاوه بر اینرسی دورانی و تغییر فرم برشی، میرایی خارجی و میرایی سازه ای (Structural Damping) نیز در نظر گرفته شده است. در شکل (۱) المانی از تیر نمایش داده شده است که در آن نیروی برشی (V)، گشتاور خمشی (M)، نیروی محوری (S)، ضریب میرایی خارجی (c)، گشتاور ناشی از میرایی سازه ای ( $M_s$ )، جرم واحد طول تیر (m)، نیروی خارجی (p)، اینرسی دورانی ( $I_r$ )، و در نهایت جابجایی عرضی تیر (u) می باشد. بافرض اینکه زاویه دوران  $\theta$  کوچک می باشد و پس از نوشتن معادله تعادل نیرو در جهت قائم و معادله تعادل گشتاور نتیجه می گردد:

$$\frac{\partial}{\partial x} [K' GA \left( \frac{\partial u}{\partial x} - \theta \right)] - m(x) \frac{\partial^2 u}{\partial t^2} - c(x) \frac{\partial u}{\partial t} + p(x, t) = 0 \quad (1)$$

که اگر ضرایب معادله دیفرانسیل به فرم چند جمله ای باشد، آنگاه با استفاده از روش "Frebenius" می توان حل های اساسی دقیق را به دست آورد. بدین ترتیب با جایگزاری این حل های اساسی در معادله فرکانسی مربوطه، فرکانس های طبیعی تیر حاصل می شود. "Craver & Jampala" [۷] ارتعاشات عرضی تیر یکسر گیردار باریک شونده خطی که دارای فنر نگهدارنده است، را بررسی نمودند. آنها ارتعاشات آزاد تیر را بر پایه تئوری اویلر - برنولی بررسی نمودند و با استفاده از تکنیک متغیرهای از هم جدا، معادلات دیفرانسیل پاره ای را به معادلات معمولی تبدیل نموده و در نهایت جواب های عمومی را بر حسب توابع بسل نوع اول و دوم مرتبه دوم به دست آورده اند. با ارضاء شرایط مرزی و صفر قرار دادن دترمینان ضرایب فرکانس های طبیعی حاصل گردید. "Naguleswan" در مقاله خود [۸] حل مستقیم (Direct Solution) برای ارتعاشات عرضی تیرهای مخروطی و گوشه ای کامل و نیمه کامل ارائه نموده است. افراد مختلفی نظیر "Maurizi & Belles" [۹] و "Rosa" [۱۰] ارتعاشات تیرهای پله ای را مورد بررسی قرار داده اند. "Tong & Tabarrok" در مقاله ای [۱۱] حل تحلیلی برای ارتعاشات آزاد و اجباری تیر تیموشنکو پله ای ارائه نمودند و از آن برای تحلیل تقریبی تیر تیموشنکو غیریکنواخت غیر هموژن را به تعدادی تیرهای پله ای با سطح مقطع ثابت تبدیل نمودند و ادعا می کنند که اگر تعداد تیرهای پله ای افزایش داده شود نتایج به سرعت به سمت جواب دقیق تیر اصلی همگرا می گردد. حل های عددی و خصوصاً روش المان محدود به دلیل قابلیت هایی که دارا می باشند، برای بررسی مسائل ارتعاشاتی تیرهای غیریکنواخت مورد توجه بسیار قرار گرفته اند که می توان به چند مقاله سال های اخیر نظیر [۱۲، ۱۳، ۱۴، ۱۵، ۱۶، ۱۷] اشاره نمود.

اثر بار محوری بر ارتعاشات اجباری تیرها توسط "Virgin & Plaut" بررسی گردیده است [۱۸]. نویسندهای مقاله تیر الاستیک یکنواخت با چهار مجموعه شرط مرزی را مطالعه و پاسخ ماندگار را به صورت تحلیلی به دست آورده اند. نیروی عرضی به صورت متناوب نسبت به زمان و به فرم غیریکنواخت در طول تیر تغییر می کند. میرایی های ویسکوز و ویسکوالاستیک در نظر گرفته شده است. دامنه حرکت عرضی تیر در وسط محاسبه و تغییرات آن به عنوان تابعی از فرکانس تحریک



شکل (۱) المان تیرموموشنکو همراه با نیروها و گشتاورهای وارد

- تیر دیلی (Raleigh Beam) غیریکنواخت بدون بار محوری و میرایی:

$$\frac{d^2}{dx^2} (EI \frac{d^2u}{dx^2}) + \frac{d}{dx} [mr^2 \omega^2 \frac{du}{dx}] - m\omega^2 u = 0 \quad (6)$$

و بر حسب  $\theta$ :

$$\frac{d}{dx} \left\{ \frac{1}{m\omega^2} \left[ \frac{d^2}{dx^2} (EI \frac{d\theta}{dx}) + \frac{d}{dx} (mr^2 \omega^2 \theta) \right] \right\} - \theta = 0 \quad (7)$$

- تیر تیموشونکو غیریکنواخت بدون بار محوری و میرایی:

$$KGA \frac{d}{dx} \left\{ \frac{1}{m\omega^2} \left[ \frac{d^2}{dx^2} (EI \frac{d\theta}{dx}) + \frac{d}{dx} (mr^2 \omega^2 \theta) \right] \right\} + \frac{d}{dx} (EI \frac{d\theta}{dx}) + (-KGA + mr^2 \omega^2) \theta = 0 \quad (8)$$

- تیرتیموشونکو غیریکنواخت تحت بار محوری و بدون میرایی:

$$(H+S) \frac{d}{dx} \left\{ \frac{1}{m\omega^2} \left[ \frac{H}{H+S} \frac{d}{dx} (EI \frac{d\theta}{dx}) + \frac{H}{H+S} (mr^2 \omega^2 + S) \theta \right] \right\} + \frac{d}{dx} (EI \frac{d\theta}{dx}) + (mr^2 \omega^2 \cdot H) \theta = 0 \quad (9)$$

که در رابطه فوق  $H = K' G A$  می‌باشد.  
روابط (۲، ۵، ۷، ۸) مشابه روابط ارائه شده در مراجع [۱۸، ۲۲، ۶] می‌باشند. از آنجایی که استفاده از معادلات بدون بعد مناسب‌تر می‌باشد، معادله (۹) که در

$$KGA \left( \frac{\partial u}{\partial x} - \theta \right) + \frac{\partial}{\partial x} (EI \frac{\partial \theta}{\partial x}) + \frac{\partial}{\partial x} [c_s I \frac{\partial^2 \theta}{\partial x^2}] - mr^2 \frac{\partial^2 \theta}{\partial t^2} + S(x) \frac{\partial u}{\partial x} = 0 \quad (2)$$

در معادلات فوق  $E, I, G, A$  به ترتیب مدول الاستیسیته، مدول برشی، ممان اینرسی، شعاع ژیراسیون و ضریب میرایی سازه‌ای می‌باشد. معادلات (۱) و (۲) معادلاتی فراگیر و عمومی بوده و حل این معادلات به صورت تحلیلی و یا نیمه تحلیلی بسیار مشکل و غیر ممکن است. براین اساس، در زیر برای چند حالت خاص با قبول فرضیه‌های ساده‌کننده معادله ارتعاشاتی حاکم بازنویسی می‌گردد:

- تیر اویلر - برنولی یکنواخت تحت نیروی محوری ثابت:

$$c_s I \frac{\partial^4 u}{\partial x^4} + EI \frac{\partial^4 \theta}{\partial x^4} + S \frac{\partial^2 u}{\partial x^2} + c \frac{\partial u}{\partial t} + m \frac{\partial^2 u}{\partial t^2} = p(x, t) \quad (3)$$

- تیر اویلر - برنولی غیریکنواخت بدون بار محوری و میرایی:  
در حالت ارتعاشات آزاد، برای ارتعاشات هارمونیک زمانی با فرکانس زاویه‌ای  $\omega$  می‌توان نوشت:

$$\frac{d^2}{dx^2} (EI \frac{d^2 u}{dx^2}) - m\omega^2 u = 0, \quad \ddot{u} = -\omega^2 u \quad (4)$$

و یا  

$$\frac{d}{dx} \left[ \frac{1}{m\omega^2} \cdot \frac{d^2}{dx^2} (EI \frac{d\theta}{dx}) \right] - \theta = 0 \quad (5)$$

در  $x = L$

$$M = EI \frac{d\theta}{dx} = I\ddot{\theta} \quad V = K'GA \left( \frac{du}{dx} - \theta \right) = M\ddot{u} \quad (14)$$

و یا پس از بدون بعدسازی:

در ۱

$$\alpha_r \Omega^2 \theta = r \frac{d\theta}{d\zeta} \quad (15)$$

$$\frac{\gamma}{S} \left\{ \frac{d}{d\zeta} \left[ \frac{q}{p+q} \frac{d}{d\zeta} (r \frac{d\theta}{d\zeta}) + \frac{q}{p+q} (\eta v \Omega^2 + \frac{p}{\delta}) \theta \right] \right\} = - \left\{ \frac{d}{d\zeta} (r \frac{d\theta}{d\zeta}) + [\eta v \Omega^2 + \epsilon] \theta \right\} \quad (16)$$

در صورتی که نیروی محوری کنار گذاشته شود، انگاه  $S = p = 0$  بوده و لذا شرایط مرزی ارائه شده در مرجع [۶] حاصل می‌شود.

#### ۴- حل دقیق- روش فربنیوس

اگر چهار حل اساسی مستقل خطی  $(V_j(\zeta); j = 1, 2, 3, 4)$  مربوط به معادله دیفرانسیل حاکم به گونه‌ای اختیار گردند که شرایط تعامل را در مبدأ سیستم مختصات ارضاء کنند، یعنی:

$$\begin{bmatrix} V_1(0) & V_2(0) & V_3(0) & V_4(0) \\ V'_1(0) & V'_2(0) & V'_3(0) & V'_4(0) \\ V''_1(0) & V''_2(0) & V''_3(0) & V''_4(0) \\ V'''_1(0) & V'''_2(0) & V'''_3(0) & V'''_4(0) \end{bmatrix} = \begin{bmatrix} 1 & 0 & 0 & 0 \\ 0 & 1 & 0 & 0 \\ 0 & 0 & 1 & 0 \\ 0 & 0 & 0 & 1 \end{bmatrix} \quad (17)$$

آنگاه پس از جایگزین نمودن حل هموزن (که ترکیب خطی چهار حل اساسی است) در شرایط مرزی می‌توان معادله فرکانسی را به دست آورد. برای معادله ارتعاشاتی (۱۰) با شرایط مرزی روابط (۱۵، ۱۲، ۱۶) نتیجه می‌گردد:

$$I\ddot{u} = -(g_1 F_3 H_1 + g_4 F_4 H_3 + g_2 F_1 H_4 - g_4 F_3 H_4 - g_2 F_4 H_1 - g_1 F_1 H_3)$$

$$+ g_5 (g_1 F_3 H_2 + g_3 F_4 H_3 + g_2 F_2 H_4 - g_3 F_3 H_4 - g_1 F_2 H_3 - g_2 F_4 H_2) = 0$$

$$g_1 = A \beta_T : g_2 = C \beta_T + A \beta_T 2r'(0) + \Omega^2, A = \frac{1}{1 + p(0)}, C = \frac{d(0)p(0) - p'(0)}{(1 + p(0))^2}$$

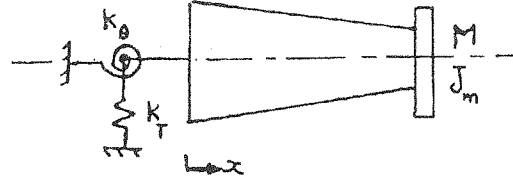
این گزارش مورد بررسی قرار گرفته است به صورت زیر بدون بعد می‌گردد:

$$\begin{aligned} & (p+q) \frac{d}{d\zeta} \left\{ \frac{i}{S\Omega^2} \frac{d}{d\zeta} \left[ \frac{q}{p+q} \frac{d}{d\zeta} (r \frac{d\theta}{d\zeta}) + \frac{q}{p+q} (\eta v \Omega^2 + \frac{p}{\delta}) \theta \right] \right\} \\ & + \delta \frac{d}{d\zeta} (r \frac{d\theta}{d\zeta}) + (\delta \eta v \Omega^2 - q) \theta = 0 \end{aligned} \quad (10)$$

پارامترهای بدون بعد در ضمیمه معرفی گردیده‌اند.  
در رابطه بالا اگر نیروی محوری کنار گذاشته شود  
( $p=0$ ) آنگاه رابطه (۸) مرجع [۶] حاصل می‌شود.

#### ۳- شرایط مرزی

معادله دیفرانسیل حاکم بر ارتعاشات آزاد تیر (معادله (۱۰)) از مرتبه چهارم می‌باشد و براین اساس نیاز به چهار شرط مرزی است. در اینجا شرایط مرزی برای یک تیر که از یک انتهای توسط فنرهای نگهدارنده مقید بوده و در انتهای دیگر دارای جرم مرکزی می‌باشد، آورده شده است (شکل (۲)). لازم به ذکر است که با انتخاب مقادیر  $K_T$  و یا  $K_0$  برابر بی‌نهایت می‌توان شرایط مرزی کلاسیک نظری حالت گیردار را به دست آورد.



شکل (۲) سیستم تیر غیریکنواخت همراه با شرایط مرزی مربوطه

در  $x = 0$

$$M = EI \frac{d\theta}{dx} = K_0 \theta, \quad V = K'GA \left( \frac{du}{dx} - \theta \right) = K_T u \quad (11)$$

پس از جایگزین ساختن مقادیر و بی بعدسازی می‌توان نوشت:  
در ۰

$$\beta_0 \theta = \frac{d\theta}{d\zeta} \quad (12)$$

$$\frac{\beta_T}{\Omega^2} \frac{d}{d\zeta} \left[ \frac{q}{p+q} \frac{d}{d\zeta} (r \frac{d\theta}{d\zeta}) + \frac{q}{p+q} (\eta v \Omega^2 + \frac{p}{\delta}) \theta \right] = - \left\{ \frac{d}{d\zeta} (r \frac{d\theta}{d\zeta}) + [\eta v \Omega^2 + \Lambda] \theta \right\} \quad (13)$$

### همراه با

$$\begin{cases} K_{1,0}=1, K_{1,1}=K_{1,2}=K_{1,3}=0 \\ K_{2,1}=1, K_{2,0}=K_{2,2}=K_{2,3}=0 \\ K_{3,2}=1/2, K_{3,0}=K_{3,1}=K_{3,3}=0 \\ K_{4,3}=1/6, K_{4,0}=K_{4,1}=K_{4,2}=0 \end{cases} \quad (22)$$

ارائه نمود. چهار حل اساسی فوق شرایط رابطه (۱۷) را ارضاء می نمایند. با جایگزین نمودن رابطه (۲۱) در رابطه (۱۹) و گرددم آوردن ضرایب توان های یکسان از چهار رابطه بازگشته زیر نتیجه می شود [۶]:

$$k_{i,z+4} = \frac{1}{20(z+4)(z+3)(z+2)(z+1)} \left[ \sum_{j=0}^i k_{i,z+j} + \sum_{j=0}^i (z-j+1)k_{i,z+j+1} + \sum_{j=0}^i (z-j+2)(z-j+1)k_{i,z+j+2} \right. \\ \left. + \sum_{j=0}^i (z-j+3)(z-j+2)(z-j+1)k_{i,z+j+3} + \sum_{j=1}^i (z-j+4)(z-j+3)(z-j+2)(z-j+1)k_{i,z+j+4} \right] \quad (23)$$

$i = 1, 2, 3, 4, z = 0, 1, 2, 3, \dots$

بدین ترتیب می توان چهار حل اساسی نرمال شده دقیق برای معادله (۱۹) به دست آورد. با جایگزین نمودن در معادله فرکانسی متناظر یعنی معادله (۱۸) فرکانس های طبیعی حاصل می شود.

### ۵- مثال های حل شده

به عنوان مثال یک تیرتیموشنکو غیریکنواخت یکسرگیردار دارای جرم مرکزی در انتهای مورده بررسی قرار گرفته است. پارامترهای بدون بعد تیر به شرح زیر می باشد:

$$q = s = (1 + \lambda \zeta), r = v = (1 + \lambda \zeta)^3, p = \text{constant}$$

$$\lambda = -0.2, \eta = 0.0016, \delta = 0.004992, \mu = 0.6$$

اختیار شده است. برای حل، یک کامپیوترا با استفاده از نرم افزار Maple V نوشته شده است که در آن کلیه مراحل حل مسئله انجام می پذیرد. در جدول (۱) اثر بار محوری و همچنین وابستگی دقت نتایج به درجه چند جمله ای ضرایب نشان داده شده است. در حالتی که نیروی محوری وجود ندارد ( $p = 0$ ) نتایج کاملاً مشابه نتایج مرجع [۶] می باشد که نشان دهنده صحت الگوریتم حل و برنامه کامپیوترا است. مشاهده می گردد که برای مودهای سوم و چهارم ارتعاشاتی لازم است که درجه چند جمله ای ضرایب تا حدود ۴۰ نیز افزایش داده شود.

$$g_3 = C \beta_T r'(0) + Ar''(0) \beta_T + A(\eta \Omega^2 + \frac{p(0)}{\delta}) \beta_T + \Omega^2 r'(0)$$

$$g_4 = C(\eta \Omega^2 + \frac{p(0)}{\delta}) \beta_T + A(\eta \Omega^2 v'(0) + \frac{p(0)}{\delta}) \beta_T + (\eta \Omega^4 + \Lambda \Omega^2), g_5 = -\beta_0$$

$$g_6 = -\frac{\alpha \Omega^2}{r(1)}, g_7 = \gamma Br(1); g_8 = \gamma Dr(1) + \gamma D.2r'(1) + r(1)s(1)$$

$$g_9 = \gamma Dr'(1) + \gamma Br''(1) + \gamma B(\eta \Omega^2 v(1) + \frac{p(1)}{\delta}) + r(1)s(1), B = \frac{q(1)}{p(1) + q(1)}, D = \frac{q'p(1)}{\phi(1)}$$

$$g_{10} = \gamma D(\eta \Omega^2 v(1) + \frac{p(1)}{\delta}) + \gamma B(\eta \Omega^2 v'(1) + \frac{p'(1)}{\delta}) + [\eta \Omega^2 v(1) + \epsilon]s(1)$$

$$F_j = v_j'(1) + g_6 v_j(1), H_j = g_7 v_j''(1) + g_8 v_j'(1) + g_9 v_j(1) + g_{10} v_j(1), j = 1, 2, 3, 4$$

$$(18)$$

که پارامترهای فوق در ضمیمه معرفی گردیده اند. بدین ترتیب معادله فرکانسی برحسب چهار حل اساسی معادله دیفرانسیل بیان گردیده است. در حالت کلی حل به فرم بسته برای یک معادله دیفرانسیل مرتبه چهار با ضرایب متغیر وجود ندارد. ولی اگر ضرایب معادله که شامل پارامترهای هندسی و خصوصیات مواد می باشد، به فرم چند جمله ای نوشته شود، آنگاه می توان نمایشی را به فرم سری توانی با استفاده از روش فربینیوس ارائه نمود.

معادله دیفرانسیل حرکت تیرتیموشنکو مورد نظر را می توان به فرم:

$$P_4(\zeta) \frac{d^4 V(\zeta)}{d\zeta^4} + P_3(\zeta) \frac{d^3 V(\zeta)}{d\zeta^3} + P_2(\zeta) \frac{d^2 V(\zeta)}{d\zeta^2} + P_1(\zeta) \frac{dV(\zeta)}{d\zeta} + P_0(\zeta) V(\zeta) = 0 \quad \zeta \in (0, 1) \quad (19)$$

نوشت.  $V$  می تواند زاویه دوران و یا جابجایی خمی بی بعد شده باشد. اگر ضرایب معادله دیفرانسیل فوق به صورت چند جمله ای های:

$$P_4 = \sum_{j=0}^{n_4} a_j \zeta^j, \quad P_3 = \sum_{j=0}^{n_3} b_j \zeta^j, \quad P_2 = \sum_{j=0}^{n_2} c_j \zeta^j \\ P_1 = \sum_{j=0}^{n_1} d_j \zeta^j, \quad P_0 = \sum_{j=0}^{n_0} e_j \zeta^j \quad (20)$$

نوشته شود، آنگاه می توان چهار حل اساسی معادله (۱۹) را به صورت:

$$V_i = \sum_{j=0}^{\infty} K_{i,j} \zeta^j, \quad i = 1, 2, 3, 4 \quad (21)$$

جدول (۱) وابستگی دقت نتایج به درجه چند جمله‌ای ضرایب

۴۰	۳۵	۳۰	۲۵	۲۰	۱	درجه چند جمله‌ای ضرایب	بار محوری
۷۴/۲۴	۷۴/۲۴	۴۰/۰۷	۴۰/۰۷	۱/۸۵ ۱۴/۴۴	۱/۸۵ ۱۴/۴۴	$\Omega_1$ فرکانس اول $\Omega_2$ فرکانس دوم $\Omega_3$ فرکانس سوم $\Omega_4$ فرکانس چهارم	$p = 0$
۷۳/۵۸	۷۳/۵۸	۳۹/۴۶	۳۹/۴۶	۱/۲۲ ۱۳/۸۶ ۳۹/۲۵	۱/۲۲ ۱۳/۸۶ ۲۲/۲۸	$\Omega_1$ فرکانس اول $\Omega_2$ فرکانس دوم $\Omega_3$ فرکانس سوم $\Omega_4$ فرکانس چهارم	$p = 0.005$

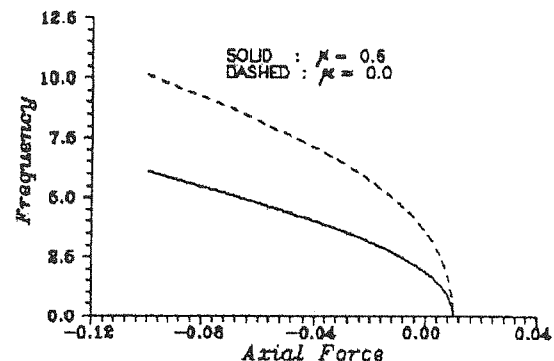
## ۶-نتیجه‌گیری

معادلات حاکم بر ارتعاشات عرضی تیرتیموشنکو غیریکنواخت تحت بار محوری همراه با میرایی خارجی و سازه‌ای ارائه گردیده است. معادله دیفرانسیل مرتبه چهارم کامل با ضرایب متغیر برحسب زاویه دوران ناشی از خمش برای ارتعاشات آزاد تیز بدون میرایی با جرم متتمرکز در یک انتهای و تکیه گاه الاستیک در انتهای دیگر به دست آورده شده است. پس از بیان معادله فرکانسی برحسب چهار حل اساسی مستقل خطی و بسط ضرایب معادله به صورت چند جمله‌ای، روش فربنیوس برای حل دقیق معادلات ارتعاشاتی تیر استفاده گردیده است. نتایج حاصل نشان می‌دهد که به منظور رسیدن به جواب‌های دقیق برای فرکانس‌های بالا (فرکانس‌های سوم و چهارم) درجه چند جمله‌ای ضرایب باید ۳۵ و بالاتر باشد. افزایش جرم متتمرکز و افزایش قدر مطلق نیروی محوری باعث کاهش فرکانس‌ها می‌شود، نیروی بحرانی کمانش متناظر با فرکانس صفر بوده و در صورتی که نیروی محوری در محل اتصال جرم متتمرکز به انتهای تیر اثر نماید، اندازه بار بحرانی کمانش مستقل از مقدار جرم متتمرکز می‌باشد.

## فهرست پارامترها

- A(x) مساحت سطح مقطع تیر
- E(x) مدول الاستیسیته
- G(x) مدول برشی
- I(x) اینرسی گشتاور سطح تیر

در شکل (۳) اثر بار محوری و جرم متتمرکز نشان داده شده است. مشاهده می‌شود که افزایش مقدار جرم متتمرکز در انتهای تیر باعث کاهش فرکانس‌ها گردیده است که از نظر فیزیکی کاملاً منطقی می‌باشد. زیرا که افزایش سختی را به همراه ندارد. همچنین در شکل مذکور مشاهده می‌شود که افزایش نیروی محوری کششی ( $p$  با علامت منفی) باعث افزایش فرکانس و فشاری ( $p$  با علامت مثبت) باعث افزایش فرکانس تیر به حدود صفر می‌رسد که در واقع همان بار بحرانی کمانش تیر است که باعث ناپایداری آن می‌گردد. شکل (۳) نشان می‌دهد که مقدار این نیرو مستقل از جرم متتمرکز بوده که از نقطه نظر فیزیکی قابل پیش‌بینی می‌باشد و صحت محاسبات را تأیید می‌نماید.



شکل (۳) اثر نیروی محوری و جرم متتمرکز بر فرکانس ارتعاشاتی تیر

$u$	: جابجایی عرضی تیر	(x)	: اینرسی گشتاور جرم واحد طول تیر
$\alpha$	: اینرسی دورانی بدون بعد جرم مرکز $[J_m/(m(0)L^3)]$	$J_m$	: اینرسی دورانی جرم انتهایی
$\beta_T, \beta_\theta$	: ضرایب بدون بعد فنر پیچشی و انتقالی $[K_\theta L/R(0)], [K_T L^3 (1 + p(0))/R(0)]$	$K_T, K_\theta$	: ضرایب فنر پیچشی و انتقالی تیر
$\gamma$	: جرم مرکز بدون بعد $[M/m(0)L]$	$K'$	: ضریب تصحیح برش
$\delta$	: نسبت بدون بعد صلبیت خمشی به صلبیت برشی در $[R(0)/(Q(0)L^2)] x = 0$	$L$	: طول تیر
$\eta$	: نسبت بدون بعد گشتاور اینرسی جرم به جرم در $[J(0)/m(0)L^2] x = 0$	$M$	: جرم مرکز در انتهای تیر
$\lambda$	: نسبت باریک شوندگی تیر $[p(0)/\delta] \Lambda$	$M_b$	: جرم کل تیر
$\mu$	: نسبت بدون بعد جرم مرکز به جرم کل تیر $[M/M_b \in [p(1)/\delta]]$	$m(x)$	: جرم واحد طول تیر
$\zeta$	: فاصله بدون بعد از یک انتهای تیر	$Q(x)$	: صلبیت برشی تیر $[k' G(x) A(x)]$
$\omega$	: فرکانس ارتعاشی	$Q(\zeta)$	: صلبیت برشی بدون بعد $[Q(0)]$
$\Omega^2$	: فرکانس بدون بعد $[m(0)\omega^2 L^4/R(0)]$	$R(x)$	: صلبیت خمشی تیر $[E(x)/I(x)]$
		$R(\zeta)$	: صلبیت خمشی بدون بعد $[R(0)/R(\zeta)]$
		$S(x)$	: نیروی محوری
		$S(\zeta)$	: نیروی محوری بدون بعد $[S(0)]$
		$s$	: جرم بدون بعد $[m(\zeta)/m(0)]$
		$J(\zeta)$	: اینرسی گشتاور جرم بدون بعد $[J(0)/J(\zeta)]$
		$v$	: متغیر طولی تیر

## مراجع

- [1] Lee, S.Y. and Kuo, Y. H., "Exact Solutions for the Analysis of General Elastically Restrained Non-Uniform Beams" ASME Journal of Applied Mechanics, Vol. 59. No. 2, pp. 205-212, 1992.
- [2] Lee, S.Y. and Ke, H.Y. and Kuo, Y. H.; "Analysis of Non-Uniform Beam Vibration" Journal of Sound and Vibration", Vol. 142, No.1, pp. 15-29, 1990.
- [3] Karabalis, D. L. and Beskos, D.E., "Static, Dynamic and Stability Analysis of Structures Composed of Tapered Beams", Journal of Computers and Structures, Vol. 16, No. 6, pp. 731-748, 1983.
- [4] Bruch, J. C; Mitchell, T. P., "Vibrations of Mass-Loaded Clamped Free Timoshenko Beam", Journal of Sound and Vibration, Vol. 114, No. 2, pp. 341-345, 1987.
- [5] Huang, T. C., "The Effect of Rotary Inertia and of Shear Deformation on the Frequency and Normal Mode Equations of Uniform Beams with Simple End Conditions", ASME Journal of Applied Mechanics, Vol. 28, No. 4, pp. 579-584, 1961.
- [6] Lee, S. Y. and Lin, S. M., "Exact Vibration Solutions for Nonuniform Timoshenko Beams with Attachments", AIAA Journal, Vol. 30, No. 12, pp. 2930-2934, 1992.
- [7] Craver, W. L. and Jampala, p., "Transverse Vibrations of Linearly Tapered Cantilever Beam with Constraining Springs", Journal of Sound and Vibration, Vol. 166 (3), pp. 521-529, 1993.
- [8] Naguleswaran, S., "A Direct Solution for the Transverse Vibration of Euler-Bernoulli, Wedge and Cone Beams", Journal of Sound and Vibration, Vol. 172 (3) , pp. 289 - 304, 1994.
- [9] Maurizi, M. J. and Belles, P. M., "Natural Frequencies of One Span Beams with Stepwise Variable Cross-Section, Journal of Sound and Vibration, Vol. 168 (1), pp. 184-488, 1993.

- [10] Rosa, M.A., "Free Vibrations of Stepped Beams with Elastic Ends", Journal of Sound and Vibration, Vol. 173, pp. 563-567, 1994.
- [11] Tong, X.; Tabarrok, B. and Yeh, K. Y., "Dynamics Analysis of Nonuniform Timoshenko Beams", Journal of Sound and Vibration, 1995.
- [12] Chehil, D.S. and Jategaonkar, R., "Determination of Natural Frequencies of a Beam with Varying Section Properties", Journal of Sound and Vibration, Vol. 115, No. 3, pp. 423-436, 1987.
- [13] Jategaonkar, R. and Chehil, D.S., "Natural Frequencies of a Beam with Varying Section Properties", Journal of Sound and Vibration. Vol. 133 (2), pp. 303 - 322, 1989.
- [14] Gutierrez, R. H. ; Laura, P.A.A. and Rossi, R.E., "Fundamental Frequency of Vibration of a Timoshenko Beam of Non-Uniform Thickness, Journal of Sound and Vibration, Vol. 145 (2), pp. 341-344, 1991.
- [15] Cleghorn, W. L. and Tabarrok, B., "Finite Element Formulation of a Tapered Timoshenko Beam for Free Lateral Vibration", Journal of Sound and Vibration, Vol. 152 (3), pp. 461-470, 1992.
- [16] To, C.W.S., "A Linearly Tapered Beam Finite Element Incorporating Shear Deformation and Rotary Inertia for Vibration Analysis", Journal of Sound and Vibration, Vol. 78 (4). pp. 475-584, 1981.
- [17] Roy, P. K. and Ganesan, N., "Studies of the Dynamic Behaviour of a Cantilever Beam with Varying Thickness", Journal of Sound and Vibration, Vol. 177 (1). pp. 1-13, 1994.
- [18] Virgin, L.N. and Plaut, R. H., "Effect of Axial Load on Forced Vibrations of Beams", Journal of Sound and Vibration, Vol. 163 (3), pp. 395-405, 1993.
- [19] Farghaly, S.H., "Comments on the General Equation of Frequencies for Vibration Uniform One-span Beams Under Compressive Axial Loads", Journal of Sound and Vibration, Vol. 161 (1), pp. 181-183, 1993.
- [20] Lee, H. P., "Dynamic Response of a Rotating Timoshenko Shaft Subject to Axial Forces and Moving Loads.", Journal of Sound and Vibration, Vol. 188 (1), pp. 169-177, 1995.
- [21] Maurizi, M. J. and Belles, P. M., "General equation of frequencies for Vibrating Uniform One-Span Beams Under Compressive Axial Loads", Journal of Sound and Vibration, Vol. 145, pp. 345, 1991.
- [22] J. L. Humur, "Dynamics of Structures", Prentice- Hall, 1990.